

# Grundlagen der Künstlichen Intelligenz

## **18 Unüberwachtes Lernen**

---

Clusteranalyse: partitionierende,  
hierarchische und dichte-basierte Ansätze

*Volker Steinhage*

# Inhalt

---

- Unüberwachtes Lernen  $\leadsto$  Clusteranalyse
- Partitionsverfahren  $\leadsto$  k-Means
- Hierarchisches Clustering  $\leadsto$  Agglomeratives Clustering
- Dichtebasiertes Clustering  $\leadsto$  DBSCAN & OPTICS

# Unüberwachtes Lernen (1)

---

- *Unüberwachtes Lernen (Unsupervised Learning):*  
die Trainingsmenge enthält nur Eingabewerte
- ~ Keine explizite Rückkopplung in Form korrespondierender richtiger Ausgabewerte
- ~ Keine implizite Rückkopplung in Form korrespondierender Verstärkungssignale (Gewinne/Kosten)
- ~ Der Agent kann nur Modelle für das Auftreten von *Mustern* bzw. *Regelmäßigkeiten* in seinen Beobachtungen lernen, aber *nicht, was er richtigerweise tun müsste*

# Unüberwachtes Lernen (2)

---

Beispiel: Kaufverhalten

- Jedes Eingabetupel besteht aus Verkaufszahlen von verschiedenen Produkten sowie kaufsituationsbeschreibenden Größen (Wetter, Wochentag, Tageszeit, Position der Ware, ...)
- Der Agent sucht nach Mustern, die Zusammenhänge zwischen Produktkäufen und Kaufsituationen aufdecken.

# Ansätze für das unüberwachte Lernen

---

Unüberwachtes Lernen kann auf zwei Arten umgesetzt werden

In dieser  
Vorlesung

- **Clusteranalyse** (auch kurz **Clustering** oder **Ballungsanalyse**): durch Gruppenzuordnung (engl. *Clustering*) werden die Datensätze derart aufgeteilt, dass Gruppen (Anhäufungen, engl. Cluster) von „*ähnlichen*“ Datensätzen entstehen
- **Dimensionsreduktion** reduziert die Zahl der die Datensätze beschreibenden Attribute durch
  - Auswahl von relevanten Attributen aus der Gesamtmenge aller Attribute (engl. *Feature Selection*)oder
  - Erzeugung einer kleineren Menge beschreibender Attribute (engl. *Feature Extraction*).

Nicht in dieser  
Vorlesung

# Clusteranalyse

---

- Ziel der unüberwachten Clusteranalyse ist:
  - Die Aufteilung einer bzgl. der Werte ihrer Attribute heterogenen Gesamtmenge von Datensätzen in Teilgruppen (Cluster) derart, dass die Datensätze jeder Teilgruppe in sich möglichst homogen hinsichtlich ihrer Attributwerte sind
- Es gibt verschiedene Ansätze der Clusteranalyse.
  - Beginnen wir mit einem der einfachsten Ansätze der Clusteranalyse, dem k-Means-Algorithmus

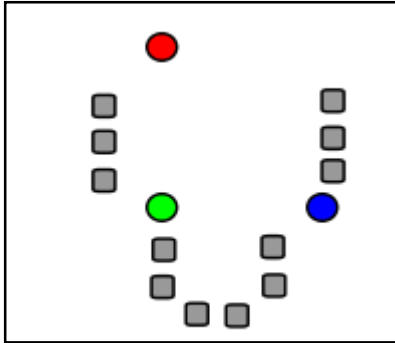
# ***k*-Means (1)**

---

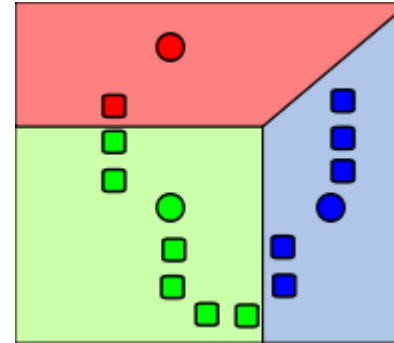
- Der *k*-Means-Algorithmus
  - erzeugt eine *a priori* vorgegebene Anzahl von *k* Clustern aus einer Menge von Datensätzen
  - ist eine der meist verwendeten Techniken zur Clusteranalyse, da er die Zentren der Cluster schnell findet
  - zeichnet sich durch große Einfachheit aus

# $k$ -Means (2)

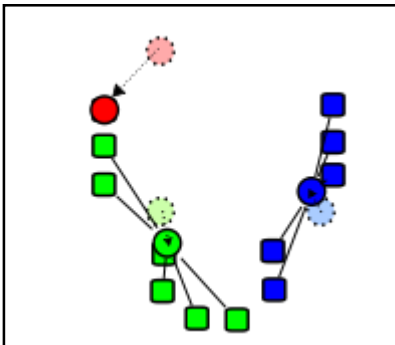
Beispiel für Datensätze mit zwei beschreibenden Attributen:



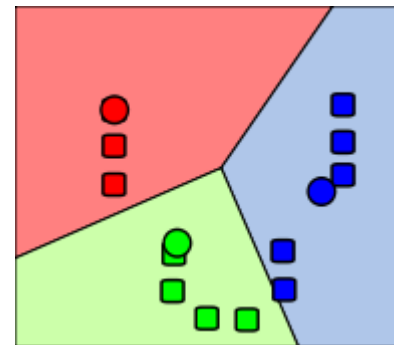
$k = 3$  initiale Zentren  
zufällig positioniert



$k = 3$  Cluster mit Zuordnung der Datenpunkte zu den nächsten Zentren



Neuberechnung der Zentren



Wiederholte Neuberechnungen von Zentren und Cluster-Zuordnungen



# ***k*-Means (3)**

---

Die Schritte vom ***k*-Means-Algorithmus**:

- (0) Vor Ausführung ist die **Anzahl *k*** der zu ermittelnden **Cluster** festzulegen
- (1) Die ***k Cluster-Schwerpunkte*** werden *zufällig* im Datenraum verteilt
- (2) **Datenzuordnung**: Jeder Datensatz wird demjenigen Cluster zugeordnet, dessen Schwerpunkt ihm am nächsten liegt \*
- (3) **Schwerpunktberechnung**: Nach der Neuordnung der Datensätze werden die Schwerpunkte aller Cluster neu berechnet \*
- (4) Gehe zu Schritt (2), bis
  - die Positionen der Schwerpunkte stabil bleiben (d.h. keine Neuverteilung der Datensätze erfolgt) oder
  - eine festgelegte maximale Zahl von Iterationen erreicht wird

---

\* Unter Verwendung einer Distanzfunktion wie z.B. der Euklid. Distanz.

# ***k*-Means (4)**

---

Die zentralen Schritte des ***k*-Means-Algorithmus** konkreter:

(1) **Initialisierung**: zufällige Vorgabe von  $k$  Schwerpunkten  $\mathbf{m}_1^{(1)}, \dots, \mathbf{m}_k^{(1)}$

(2) **Neuzuordnung der Datensätze**  $\mathbf{x}_j$  zu dem Cluster  $\mathbf{S}_i^{(t)}$  in Iteration  $t$ :

$$\mathbf{S}_i^{(t)} = \{ \mathbf{x}_j \text{ mit } \|\mathbf{x}_j - \mathbf{m}_i^{(t)}\| \leq \|\mathbf{x}_j - \mathbf{m}_{i'}^{(t)}\| \forall i' \in \{1, \dots, k\} \setminus \{i\} \}$$

(3) **Neuberechnung der Schwerpunkte**:

$$\mathbf{m}_i^{(t+1)} = \frac{1}{|\mathbf{S}_i^{(t)}|} \cdot \sum_{\mathbf{x}_j \in \mathbf{S}_i^{(t)}} \mathbf{x}_j$$

(4) **Terminierung**, wenn keine Neuzuordnungen in (2)

Der Algorithmus versucht also, die ***Kompaktheit*** aller Cluster  $\mathbf{S} = \{\mathbf{S}_1, \dots, \mathbf{S}_k\}$  zu ***maximieren***:

$$\arg \min_{\mathbf{S}} = \sum_{i=1}^k \sum_{\mathbf{x}_j \in \mathbf{S}_i} \|\mathbf{x}_j - \mathbf{m}_i\|$$

# ***k*-Means (5)**

---

Bewertung:

- Heuristischer Ansatz:
  - das Ergebnis kann von der Initialisierung abhängig sein
  - das globale Optimum wird nicht garantiert erreicht
- Zeitkomplexität:
  - im Worst Case exponentiell in der Zahl der Datensätze
  - im Average Case polynomiell in der Zahl der Datensätze
- Cluster-Modell:
  - geht von sphärischen Clustern ähnlicher Größe aus, da die Zuordnung der Datensätze nach *minimaler Distanz* zu den Clusterzentren erfolgt
- Anzahl der Cluster muss vorgegeben werden

# Ansätze der Clusteranalyse

---

Der k-Means-Algm. ist nur eine von vielen Methoden der Clusteranalyse

Die Verfahren der Clusteranalyse lassen sich einordnen in

- partitionierende Verfahren
- hierarchische Verfahren
- dichte-basierte Verfahren
- graphentheoretische Verfahren
- andere Verfahren

In dieser Vorlesung werden exemplarisch Ansätze für **partitionierende Verfahren**, **hierarchische Verfahren** und **dichte-basierte Verfahren** vorgestellt

# Partitionierende Clusterverfahren

---

## Partitionierende Verfahren

- verwenden eine **initiale Partitionierung** aller Datensätze
- ordnen die Datensätze durch **Austauschfunktionen** solange um, bis die verwendete **Zielfunktion ein Optimum** erreicht
- Zusätzliche Cluster können nicht gebildet werden, da die **Anzahl der Cluster bereits am Anfang festgelegt** wird
- ~ Der vorgestellte **k-Means-Algorithmus** ist ein partitionierendes Verfahren ✓

# Hierarchische Clusterverfahren

---

Hierarchische Verfahren zeigen zwei Varianten

- Agglomerative Verfahren

- Start mit feinster Partition: jeder Datensatz bildet ein eigenes Cluster
- Prozess: schrittweise Bildung größerer Cluster durch Zusammenfassung von Clustern ähnlicher Datensätze

- Divisive Verfahren

- Start mit größter Partition = Gesamtheit aller Datensätze
- Prozess: schrittweise disjunktive Unterteilung in Cluster mit Datensätzen größerer Ähnlichkeit

- Agglomerative Verfahren kommen in der Praxis häufiger vor

# Terminierung hierarchischer Clusterverfahren

---

Kriterien zur Terminierung agglomerativer Verfahren:

- **Maximale Variation innerhalb der Cluster:** alle Cluster zeigen eine maximale Distanz zwischen ihren Elementen, die nicht mehr überschritten werden soll. Weitere Elemente aus anderen Clustern würden zu große Unähnlichkeiten innerhalb der Cluster erzeugen
- **Minimale Distanz zwischen Clustern:** alle Cluster zeigen eine minimale Distanz untereinander, die so groß ist, dass Agglomeration solcher Cluster zu Fusionen von zu unähnlichen Elementen führen
- **Zahl von Clustern:** Eine hinreichend kleine Zahl von Clustern ist ermittelt worden

Analog angepasst für divisive Verfahren

# Agglomeratives Clustering durch Single-Linkage-Clustering (1)

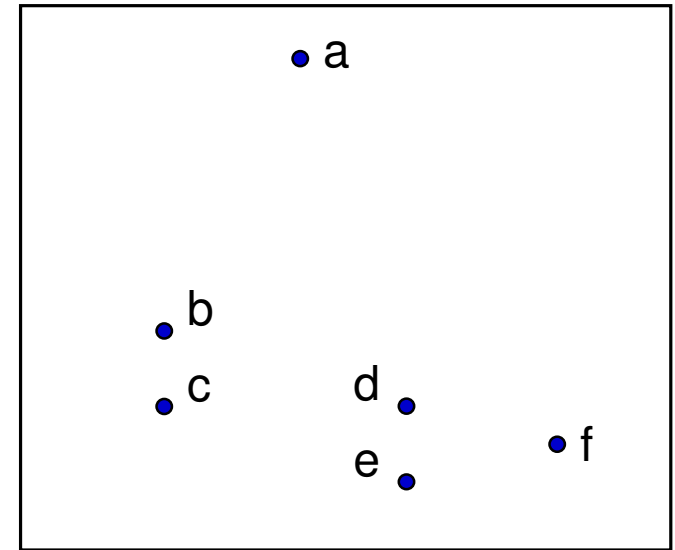
**Beispiel:** gegeben seien 6 Datensätze  $a, \dots, f$  in einem 2-dimens. Datenraum. Die Euklidische Distanz sei als Distanzmaß anwendbar.

**Start:** jeder Datensatz bildet ein eigenes Cluster, also Cluster  $\{a\}$   $\{b\}$   $\{c\}$   $\{d\}$   $\{e\}$  und  $\{f\}$ .

Zusammenfassung von ähnlichen Clustern erfolgt im *Single-linkage Clustering* nach der *minimalen Distanz* zwischen Elementen verschiedener Cluster  $C_1, C_2$ :

$$\min \{ d(x,y) \mid x \in C_1, y \in C_2 \}$$

Eine  $6 \times 6$  *Distanzmatrix* kodiert im Eintrag  $(i,j)$  die min. Distanz zwischen  $i$ -tem und  $j$ -tem Cluster. Die Zusammenfassung von Clustern entspricht der Zusammenfassung von Spalten und Zeilen der Matrix.



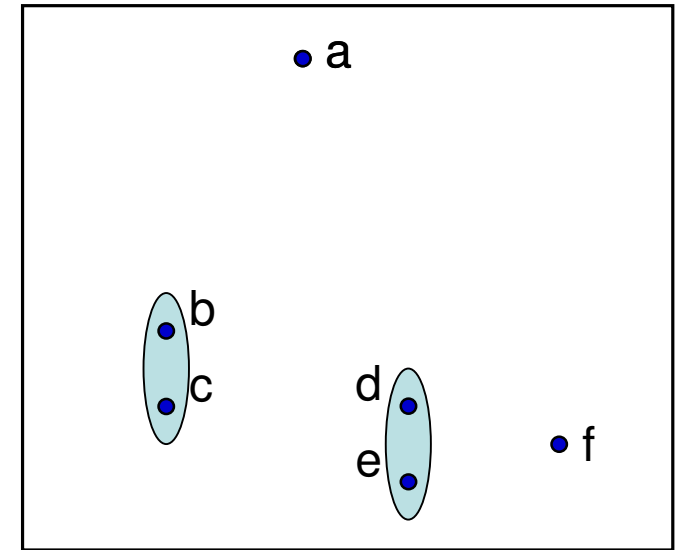
	<i>a</i>	<i>b</i>	<i>c</i>	<i>d</i>	<i>e</i>	<i>f</i>
<i>a</i>	0					
<i>b</i>	4.0	0				
<i>c</i>	5.0	1.2	0			
<i>d</i>	5.0	3.3	3.1	0		
<i>e</i>	5.8	3.6	3.2	1.2	0	
<i>f</i>	6.1	5.4	5.2	2.3	2.3	0



# Agglomeratives Clustering durch Single-Linkage-Clustering (2)

Die Cluster  $\{b\}$  und  $\{c\}$  sowie  $\{d\}$  und  $\{e\}$  zeigen den min. Abstand von 1.2 und werden zu neuen Clustern  $\{b,c\}$  bzw.  $\{d,e\}$  zusammengeführt.

Die Zeilen und Spalten für die Cluster  $\{b\}$ ,  $\{c\}$ ,  $\{d\}$  und  $\{e\}$  werden gelöscht und ersetzt durch neue Spalten und Zeilen für die neuen Cluster  $\{b,c\}$  und  $\{d,e\}$ :

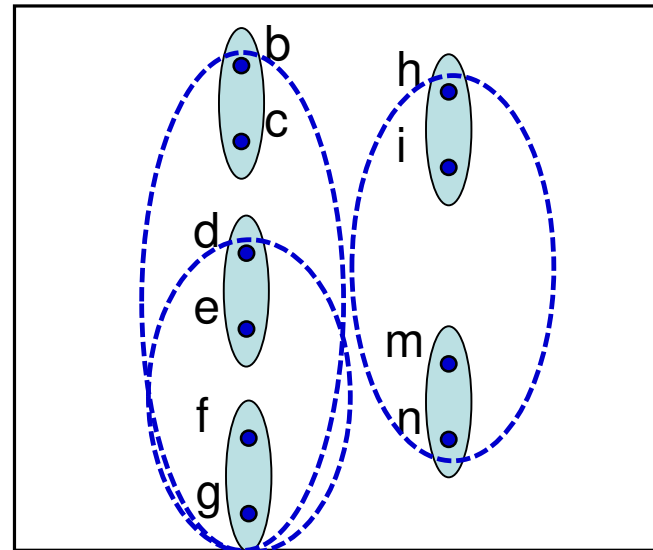
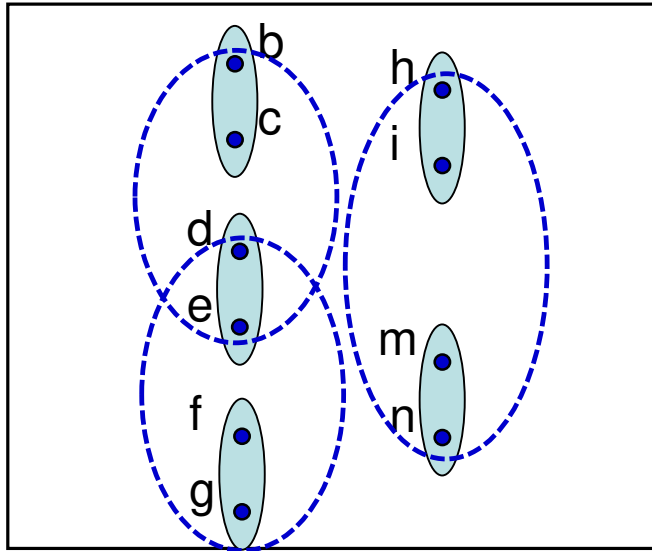


	<i>a</i>	<i>b</i>	<i>c</i>	<i>d</i>	<i>e</i>	<i>f</i>
<i>a</i>	0					
<i>b</i>	4.0	0				
<i>c</i>	5.0	1.2	0			
<i>d</i>	5.0	3.3	3.1	0		
<i>e</i>	5.8	3.6	3.2	1.2	0	
<i>f</i>	6.1	5.4	5.2	2.3	2.3	0



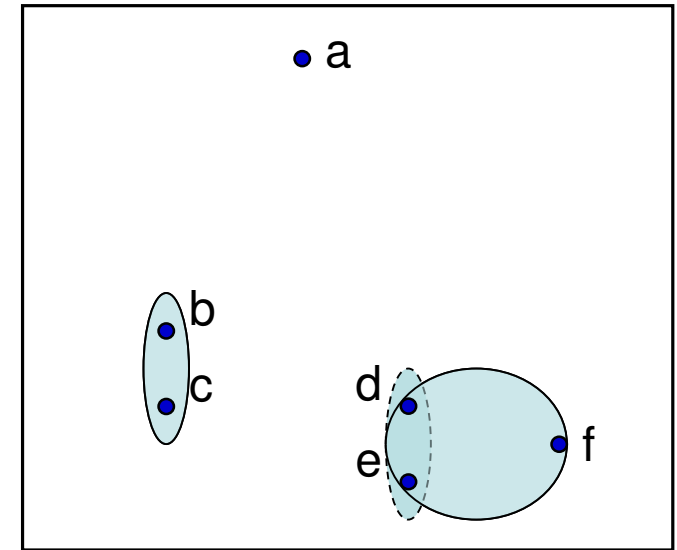
	<i>a</i>	<i>b</i> <i>c</i>	<i>d</i> <i>e</i>	<i>f</i>
<i>a</i>	0			
<i>b,c</i>	4.0	0		
<i>d,e</i>	5.0	3.1	0	
<i>f</i>	6.1	5.2	2.3	0

## Agglomeratives Clustering durch Single-Linkage-Clustering (2)

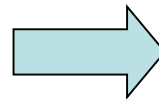


# Agglomeratives Clustering durch Single-Linkage-Clustering (3)

Jetzt zeigen die Elemente  $d$  und  $e$  des Clusters  $\{d,e\}$  den minimalen Abstand zu  $f$  von Cluster  $\{f\}$ . Also wird das neue Cluster  $\{d,e,f\}$  gebildet.



	$a$	$b$ $c$	$d$ $e$	$f$
$a$	0			
$b,c$	4.0	0		
$d,e$	5.0	3.1	0	
$f$	6.1	5.2	2.3	0

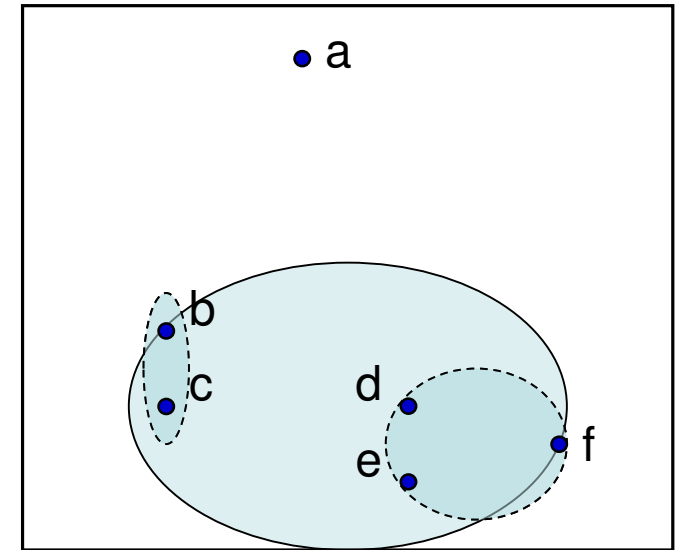


	$a$	$b$ $c$	$d$ $e$ $f$
$a$	0		
$b,c$	4.0	0	
$d,e,f$	5.0	3.1	0

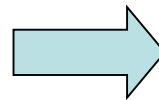
# Agglomeratives Clustering durch Single-Linkage-Clustering (4)

Jetzt zeigen die Elemente  $c$  und  $d$  der Cluster  $\{b,c\}$  und  $\{d,e,f\}$  den minimalen Abstand. Also wird das neue Cluster  $\{b,c,d,e,f\}$  gebildet.

Das Agglomerieren mag im Bspl. terminieren, wenn mit 4.0 eine Minstdistanz zwischen den ähnlichsten Elementen zwei verschiedener Cluster erreicht ist. Ansonsten würde ein einziges Cluster  $\{a,b,c,d,e,f\}$  als Ergebnis resultieren.



	<i>a</i>	<i>b</i> <i>c</i>	<i>d</i> <i>e</i> <i>f</i>
<i>a</i>	0		
<i>b,c</i>	4.0	0	
<i>d,e,f</i>	5.0	3.1	0



	<i>a</i>	<i>b,c</i> , <i>d,e</i> , <i>f</i>
<i>a</i>	0	
<i>b,c,d,e,f</i>	4.0	0

# Agglomeratives Clustering durch Single-Linkage-Clustering (5)

Der Algorithmus:

Geg.:  $N$  Elemente bzw. Datenpunkte

- 1) Start mit 1-elementigen Clustern  $C_1, \dots, C_N$  und entspr. Distanzmatrix  $D$  mit Distanzen  $d(C_i, C_j)$  zwischen den Elementen aus Clustern  $C_i$  und  $C_j$
- 2) Suche in Distanzmatrix  $D$  ähnlichstes Clusterpaar\*  $C_i$  und  $C_j$  über  $\min \{ d(C_i, C_j) \mid i, j \in \{1, \dots, N\} \}$
- 3) Fasse die ermittelten Cluster  $C_i$  und  $C_j$  zu neuem Cluster  $C_{i,j}$  zusammen
- 4) Ersetze die Reihen und Spalten in  $D$  mit Bezug zu den Clustern  $C_i$  und  $C_j$  durch eine neue Reihe und Spalte für  $C_{i,j}$ , wobei  $d(C_{i,j}, C_k)$  für neues Cluster  $C_{i,j}$  und bisherige Cluster  $C_k$  so, dass  $d(C_{i,j}, C_k) = \min \{ d(C_i, C_k), d(C_j, C_k) \}$
- 5) Terminierung, wenn alle Cluster eine maximale Unähnlichkeit ihrer Elemente erzielt haben *oder* eine bestimmte Distanz zueinander überschreiten *oder* eine genügend kleine Zahl von Clustern ermittelt worden ist. Andernfalls gehe zu 2).

---

\* ggf. auch mehrere Paare bei mehrfachem Auftreten der minimalen Distanz

# Single-Linkage-, Complete-Linkage- und Average Linkage-Clustering

Das Single-Linkage-Clustering (SLC) zeigt einen methodischen Aspekt, der bei bestimmten Datenmengen nachteilig sein kann und als Kettungsbildung (*chaining phenomenon*) bezeichnet wird:

Zwei Cluster werden auch dann fusioniert, wenn nur zwei einzelne Elemente aus beiden Clustern ähnlich sind, obwohl alle restlichen Elemente beider Cluster sehr verschieden von einander sind. SLC kann also zu heterogenen Clustern führen.

Als Alternative zum SLC (1) gibt es daher Varianten, die die Clusterfusion nicht über deren ähnlichste Elemente steuern, sondern z.B. über die unähnlichsten Elemente (2)\* bzw. über die Mittelungen der Distanzen (3). Im Vergleich:

(1) **Single-Linkage-Clustering**:  $\min \{ d(x,y) \mid x \in C_1, y \in C_2 \}$

(2) **Complete-Linkage-Clustering**:  $\max \{ d(x,y) \mid x \in C_1, y \in C_2 \}$

(3) **Average-Linkage-Clustering**:  $(|C_1| \cdot |C_2|)^{-1} \sum_{x \in C_1} \sum_{y \in C_2} d(x,y)$

---

\* beim Complete-Linkage-Clustering kann es wiederum zur Bildung kleiner Cluster kommen

# Agglomeratives Clustering über Zentroiddistanz und Intraclostervarianz

Einige weitere Bewertungsmaße für das agglomerative Clustering sind auch

- die **Zentroiddistanz**  $d_{centroids}(C_1, C_2) = d(\underline{x}, \underline{y})$   
für Mittelwerte  $\underline{x}$ ,  $\underline{y}$  von  $C_1$  bzw.  $C_2$
- die **Varianzzunahme nach Fusion** von  $C_1$  und  $C_2$  (**Ward-Kriterium**):

$$d_{Ward}(C_1, C_2) = \sum_{z \in C_1 \cup C_2} d(z, \underline{z})^2 - \sum_{x \in C_1} d(x, \underline{x})^2 - \sum_{y \in C_2} d(y, \underline{y})^2 = \frac{|C_1||C_2|}{|C_1| + |C_2|} d(\underline{x}, \underline{y})^2$$

für Mittelwerte  $\underline{x}$ ,  $\underline{y}$ ,  $\underline{z}$  von  $C_1$ ,  $C_2$  bzw.  $C_1 \cup C_2$

Zur Umsetzung der genannten alternativen Distanzmaße sind im Algorithmus *Single-Linkage-Clustering* in Schritten 2 und 4 die neuen Einträge eben nicht mit  $d(C_{i,j}, C_k) = \min \{ d(C_i, C_k), d(C_j, C_k) \}$  zu belegen, sondern mit den maximalen Distanzen (Complete-Linkage-Clustering) bzw. durchschnittlichen Distanzen (Average-Linkage-Clustering) bzw. den Zentroiddistanzen bzw. den entstehenden Intraclostervarianzen.

# Dichtebasierte Clusterverfahren

---

**Dichtebasierte Verfahren** modellieren Cluster als dicht beieinander liegende Datensätze in einem d-dimensionalen Raum. Diese Cluster sind wiederum durch Gebiete mit geringerer Dichte getrennt.

Ein bekannter dichtebasierter Algorithmus ist **DBSCAN** (für *Density-Based Spatial Clustering of Applications with Noise*).

Eine Erweiterung von **DBSCAN** ist der Algorithmus **OPTICS**, der im Gegensatz zu **DBSCAN**

- mit Clustern unterschiedlicher Dichte arbeiten kann,
- ein hierarchisches Ergebnis liefert,
- eine visuelle Evaluierung erlaubt.



# DBSCAN (1): Kernobjekte

Def.[dicht/Kernobjekt]

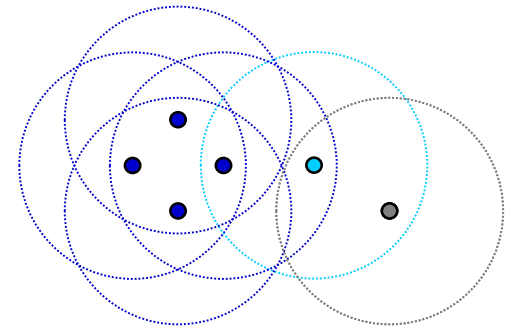
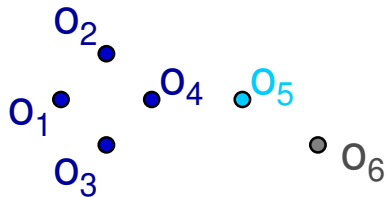
Objektmenge  $O$

Ein Datensatz (Objekt)  $o \in O$  heißt dicht bzw. **Kernobjekt**, wenn es eine Mindestzahl  $m$  von Nachbarobjekten  $o' \in O$  in einer  $\varepsilon$ -Nachbarschaft von  $o$  gibt:

$$|N_\varepsilon(o)| \geq m \text{ mit } N_\varepsilon(o) = \{o' \in O \setminus \{o\} \mid \text{dist}(o, o') \leq \varepsilon\}.$$

Parameter  $m$  und  $\varepsilon$

Beispiel:  $m = 3$ , Objekte  $o_1, o_2, o_3, o_4, o_5, o_6$  mit  $\varepsilon$ -Radien rechts



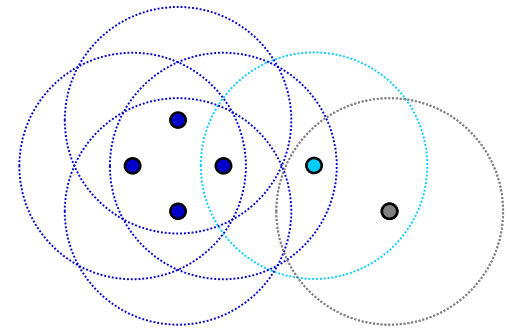
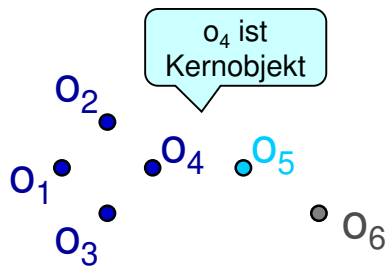
- $o_1$  hat  $o_2, o_3$  und  $o_4$  in der  $\varepsilon$ -Nachbarschaft  $\leadsto o_1$  ist Kernobjekt
- $o_2$  hat  $o_1, o_3$  und  $o_4$  in der  $\varepsilon$ -Nachbarschaft  $\leadsto o_2$  ist Kernobjekt
- $o_3$  hat  $o_1, o_2$  und  $o_4$  in der  $\varepsilon$ -Nachbarschaft  $\leadsto o_3$  ist Kernobjekt
- $o_4$  hat  $o_1, o_2, o_3$  und  $o_5$  in der  $\varepsilon$ -Nachbarschaft  $\leadsto o_4$  ist Kernobjekt

# DBSCAN (2): Dichte-Erreichbarkeit

Def.[direkt dichte-erreichbar, dichte-erreichbar]

- Jedes Nachbarobjekt  $o' \in O$  in der  $\varepsilon$ -Nachbarschaft eines Kernobjektes  $o \in O$  heißt **direkt dichte-erreichbar** vom Kernobjekt  $o \in O$  bzgl.  $m$  und  $\varepsilon$ .
- Jedes Objekt  $o' \in O$  heißt **dichte-erreichbar** von einem *Kernobjekt*  $o \in O$ , wenn es eine verbindende Kette  $o_1, \dots, o_n$  von Objekten aus  $O$  für  $o$  und  $o'$  derart gibt, dass  $o_1 = o$  und  $o_n = o'$  und  $o_{i+1}$  **direkt dichte-erreichbar** ist von  $o_i$  für alle  $i$ .

Beispiel:  $m = 3$ , Objekte  $o_1, o_2, o_3, o_4, o_5, o_6$  mit  $\varepsilon$ -Radien rechts



- $o_5$  hat  $o_4$  und  $o_6$  in der  $\varepsilon$ -Nachbarschaft  $\leadsto o_5$  ist **direkt dichte-erreichbar** von  $o_4$
- $o_5$  ist dichte-erreichbar von  $o_i$ ;  $o_i$  ist nicht dichte-erreichbar von  $o_5$  ( $i = 1, 2, 3, 4$ )

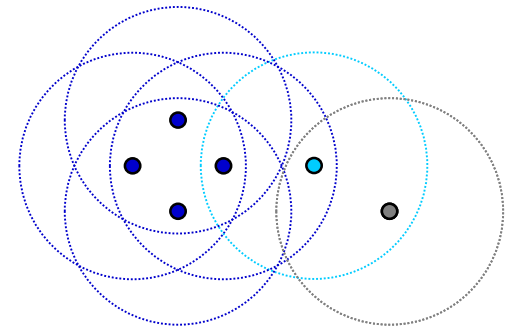
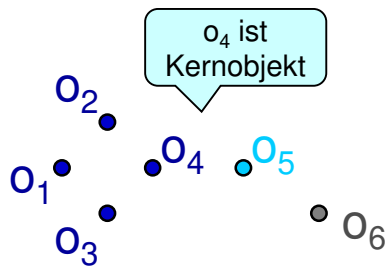
# DBSCAN (3): Dichte-Verbundenheit

Aber: die Relation *dichte-erreichbar*( $o, o'$ ) ist nicht symmetrisch, da  $o'$  selbst ggf. nicht Kernobjekt ist. Daher die folg. Definition von *Dichte-Verbundenheit*.

Def.[Dichte-Verbundenheit]

Zwei Objekte  $o_1, o_2 \in O$  heißen *dichte-verbunden*, wenn sie beide von einem dritten Objekt  $o_3 \in O$  *dichte-erreichbar* sind.

Beispiel:  $m = 3$ , Objekte  $o_1, o_2, o_3, o_4, o_5, o_6$  mit  $\varepsilon$ -Radien rechts



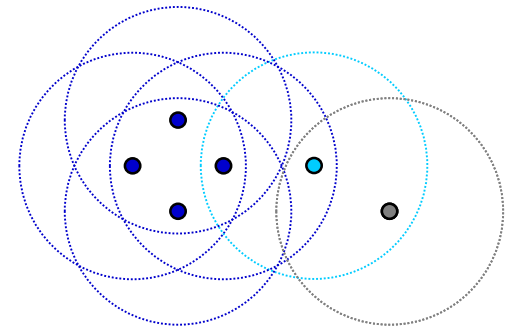
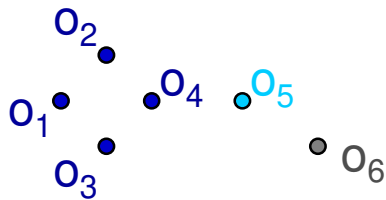
- $o_5$  ist dichte-erreichbar von  $o_i$ ;  $o_i$  ist nicht dichte-erreichbar von  $o_5$  ( $i = 1, 2, 3, 4$ )
- $o_5$  und  $o_i$  sind dichte-verbunden über  $o_4$  ( $i = 1, 2, 3, 4$ )

# DBSCAN (4): Rauschobjekte

Def.[Rauschobjekt]

Jedes Objekt  $r \in O$  heißt **Rauschobjekt**, wenn es weder *dicht* noch *dichte-erreichbar* ist.

Beispiel:  $m = 3$ , Objekte  $o_1, o_2, o_3, o_4, o_5, o_6$  mit  $\varepsilon$ -Radien rechts

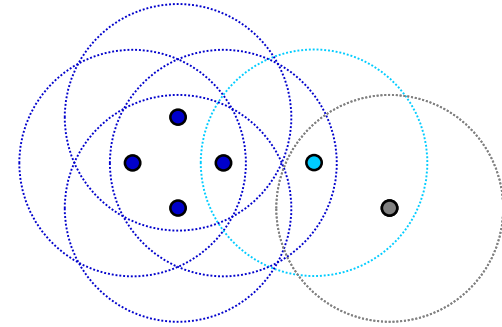
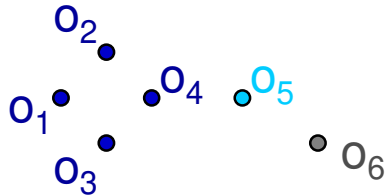


- $o_6$  ist Rauschobjekt

# DBSCAN (5): Beispiel

Zusammenfassung des Beispiels

Beispiel:  $m = 3$ , Objekte  $o_1, o_2, o_3, o_4, o_5, o_6$  mit  $\varepsilon$ -Radien rechts



- $o_1$  hat  $o_2, o_3$  und  $o_4$  in der  $\varepsilon$ -Nachbarschaft  $\leadsto o_1$  ist **Kernobjekt**
- $o_2$  hat  $o_1, o_3$  und  $o_4$  in der  $\varepsilon$ -Nachbarschaft  $\leadsto o_2$  ist **Kernobjekt**
- $o_3$  hat  $o_1, o_2$  und  $o_4$  in der  $\varepsilon$ -Nachbarschaft  $\leadsto o_3$  ist **Kernobjekt**
- $o_4$  hat  $o_1, o_2, o_3$  und  $o_5$  in der  $\varepsilon$ -Nachbarschaft  $\leadsto o_4$  ist **Kernobjekt**
- $o_5$  hat  $o_4$  und  $o_6$  in der  $\varepsilon$ -Nachbarschaft  $\leadsto o_5$  ist **direkt dichte-erreichbar** von  $o_4$
- $o_5$  ist dichte-erreichbar von  $o_i$ ;  $o_i$  ist nicht dichte-erreichbar von  $o_5$  ( $i = 1, 2, 3, 4$ )
- $o_5$  und  $o_i$  sind dichte-verbunden über  $o_4$  ( $i = 1, 2, 3, 4$ )
- $o_6$  ist Rauschobjekt

$o_5$  ist kein Kernobjekt

# DBSCAN (6): Cluster

---

Interpretation: die bisherigen Definitionen führen zu drei Klassen von Objekten:

- **Kernobjekte**, die selbst als **dicht** bezeichnet werden, weil in ihrer  $\varepsilon$ -Umgebung die Mindestzahl von  $m$  Nachbarobjekten zu finden ist.
- **Dichte-erreichbare Objekte**, die zwar von einem Kernobjekt des Clusters erreichbar sind, **selbst aber nicht dicht** sind. Anschaulich werden diese den Rand eines Clusters bilden.
- **Rauschobjekte**, die weder dicht noch dichte-erreichbar sind und daher keinem Cluster zugeordnet werden.

Entsprechend folgt Def.[Cluster ]:

Ein **Cluster**  $C$  bzgl. der **Parameter**  $m, \varepsilon$  ist eine nicht-leere Teilmenge von  $O$ , für die folgende Bedingungen gelten:

- **Maximalität**:  $\forall o_1, o_2 \in O$ : wenn  $o_1 \in C$  und  $o_2$  dichte-erreichbar von  $o_1$  ist, dann ist auch  $o_2 \in C$
- **Verbundenheit**:  $\forall o_1, o_2 \in C$ :  $o_1$  und  $o_2$  sind dichte-verbunden.

# DBSCAN (7): Algorithmus

## DBSCAN (D, eps, MinNeighbors)

$C = 0$

**for each** unvisited object O in dataset D

mark O as visited

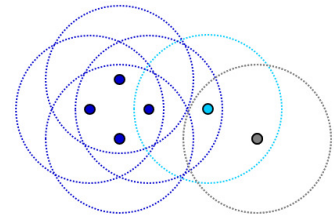
$N \leftarrow \text{getNeighbors}(O, \text{eps})$

**if**  $\text{sizeof}(N) < \text{MinNeighbors}$  **then** mark O as NOISE

**else** //  $\text{sizeof}(N) \geq \text{MinNeighbors}$

$C \leftarrow \text{next cluster}$

$\text{expandCluster}(O, N, C, \text{eps}, \text{MinNeighbors})$



kann später (letzter Befehl von *expand Cluster*) noch in ein Cluster kommen.

## expandCluster(O, N, C, eps, MinNeighbors)

add O to cluster C

**for each** object O' in N

**if** O' is not visited **then**

mark O' as visited

$N' \leftarrow \text{getNeighbors}(O', \text{eps})$

**if**  $\text{sizeof}(N') \geq \text{MinNeighbors}$  **then**  $N \leftarrow N \text{ joined with } N'$

**if** O' is not yet member of any cluster **then** add O' to cluster C

## DBSCAN (8): Bewertung

---

- DBSCAN ist exakt bzgl. der Definitionen von *dichte-verbunden* und *Rauschen*: alle Objekte in demselben Cluster sind garantiert dichte-verbundene Objekte, während *Rauschobjekte* sicher außerhalb von Clustern sind.
- Nicht exakt ist DBSCAN bei nur *dichte-erreichbaren* Objekten, diese werden nur einem Cluster zugeordnet, nicht allen möglichen.
- Die Zahl der Cluster muss nicht a priori festgelegt werden (wie z.B. bei vielen Partitionsverfahren wie k-Means).
- DBSCAN kann Cluster beliebiger Form (z.B. nicht nur kugelförmige) erkennen.
- DBSCAN ist deterministisch und reihenfolgeunabhängig: unabhängig von der Verarbeitungsreihenfolge der Objekte entstehen dieselben Cluster (mit der Ausnahme der nur dichte-erreichbaren Nicht-Kern-Objekte und der Cluster-Nummerierung).
- DBSCAN ist von quadratischer Zeitkomplexität in der Zahl der Datenobjekte.

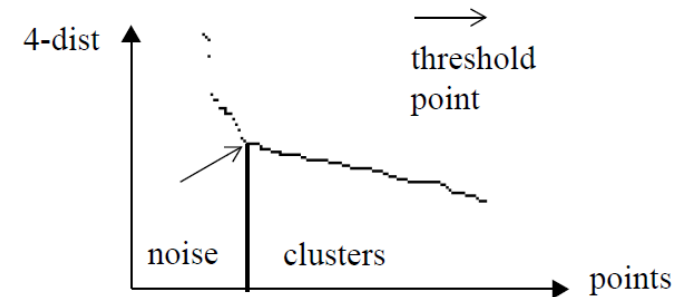


# DBSCAN (9): Parameter und Beschränkung

- 1) DBSCAN benötigt die Festlegung von *zwei Parametern*:  $\varepsilon$  und die Mindestzahl *MinNeighbors* von Nachbarobjekten für ein Kernobjekt in dessen  $\varepsilon$ -Umgebung.

Als *Daumenregel* wird vorgeschlagen:

- *MinNeighbors* =  $k \geq \dim(D)+1$  (empirisch  $k=4$  für 2D-Daten vorgeschlagen),
- $\varepsilon$  aus einer Abschätzung über den  $k$ -Distanzen (Distanz zum  $k$ -nächsten Nachbarn) der Datenobjekte.



Ester et al. (1996): "A density-based algorithm for discovering clusters in large spatial databases with noise". KDD-96.

- 2) DBSCAN arbeitet nicht gut auf Datenmengen, deren Cluster unterschiedliche Dichten zeigen, da das Parameterpaar (Epsilon, MinNeighbors) für alle Cluster vorgegeben wird.
- Beide Aspekte führten zur Entwicklung von *OPTICS* (Ordering Points To Identify the Clustering Structure).

# OPTICS (1)

---

- *OPTICS* basiert auf *DBSCAN*, weist aber zwei Verbesserungen auf:
  - *OPTICS* kann im Gegensatz zu *DBSCAN* *Cluster unterschiedlicher Dichte* erkennen.
  - Gleichzeitig *eliminiert* *OPTICS* (weitgehend) den  *$\epsilon$ -Parameter* von *DBSCAN*.
- Hierzu *ordnet* *OPTICS* die Punkte der Datenmenge so, dass ähnliche bzw. benachbarte Punkte in dieser Ordnung nahe aufeinander folgen.
- Gleichzeitig wird die sog. *Erreichbarkeitsdistanz* notiert. Zeichnet man diese Erreichbarkeitsdistanzen in ein Diagramm, so bilden Cluster „Täler“ und können so identifiziert werden.

# OPTICS (2)

---

- Auch *OPTICS* verwendet zwei Parameter *minNeighbors* und  $\epsilon$ .  $\epsilon$  steht hier aber für eine Maximaldistanz, bis zu der man überhaupt noch von einer für das Clustering relevanten Dichte sprechen kann.  $\epsilon$  dient so der Komplexitätsbegrenzung von *OPTICS*.
- In *DBSCAN* ist ein Objekt ein *Kernobjekt*, wenn seine  $\epsilon$ -Umgebung mindestens *minNeighbors* Objekte enthält.

Dadurch sind Kerndistanzen hier verschieden, weil abhängig von der Dichte
- Dies wird in *OPTICS* umgedreht: die *Kerndistanz* eines Objekts wird als der Abstand zum *minNeighbors*-nächsten Nachbarn definiert.
  - Die Kerndistanz wäre in *DBSCAN* derjenige  $\epsilon$ -Wert, ab dem ein Objekt ein Kernobjekt wäre.
  - Hat ein Objekt in *OPTICS* in seiner  $\epsilon$ -Umgebung keine *minNeighbors* Nachbarn, so ist seine Kerndistanz unendlich bzw. „undefiniert“.

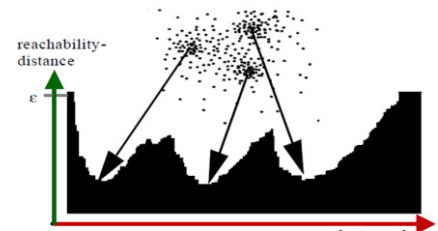
# OPTICS (3)

---

- Die *Erreichbarkeitsdistanz* eines Objekts  $o$  von einem zweiten Objekt  $o'$  ist definiert als  $\max(\text{kerndistanz}(o), \text{dist}(o, o'))$ , also als das Maximum von der Kerndistanz des verweisenden Punktes und des wahren Abstandes. ○
- OPTICS ordnet jetzt alle Objekte.
  - Begonnen wird mit einem beliebigen unbearbeiteten Objekt  $o$ .
  - Die Nachbarn der  $\varepsilon$ -Umgebung von  $o$  werden ermittelt und nach ihrer Erreichbarkeitsdistanz zu  $o$  in einer Vorrangwarteliste *OrderedList* gemerkt.
  - Nun wird immer der Nachbar mit minimaler Erreichbarkeitsdistanz als nächster in die Ordnung aufgenommen. Durch das Verarbeiten eines neuen Nachbarn können sich die Erreichbarkeitsdistanzen der unverarbeiteten Nachbarn verbessern. Durch die Sortierung dieser Vorrangwarteschlange sucht OPTICS die Mitte eines Clusters und verarbeitet diesen vollständig, bevor er beim nächsten Cluster weitermacht.

# OPTICS (4)

- OPTICS liest in der Hauptschleife zunächst alle Objekte der Datenmenge  $D$  ein.
- Für jedes Objekt  $O$  werden
  - alle Objekte  $O'$  aus der  $\varepsilon$ -Nachbarschaft gelesen
  - die Erreichbarkeitsdistanz von  $O$  auf *undefiniert* gesetzt
  - seine Kerndistanz  $\text{core-distance}(O, \text{eps}, \text{MinNeighbors})$  zum *MinNeighbors*-Nachbarn ermittelt
  - Die if-Anweisung überprüft, ob  $O$  ein Kernobjekt ist.
    - Wenn nicht, wird das nächste Objekt in der Hauptschleife eingelesen.
    - Wenn ja, werden über  $\text{OrderSeedsUpdate}(N, O, \text{Seeds}, \text{eps}, \text{MinNeighbors})$  iterativ alle direkt dichte-erreichbaren Nachbarn von  $O$  bzgl.  $\varepsilon$  und *MinNeighbors* in die *Seeds*-Liste zur weiteren Cluster-Expansion geordnet nach ihrer Erreichbarkeitsdistanz eingefügt.
    - In der innersten Schleife werden die Objekte der *Seeds*-Liste gelesen, ihre Kerndistanz bestimmt und sie werden dann mit ihrer Erreichbarkeitsdistanz in *OrderedList* geschrieben. Wenn auch sie Kernobjekte sind, werden weitere Objekte ihrer  $\varepsilon$ -Nachbarschaft in *Seeds* eingelesen usw.



# OPTICS (5): der Algorithmus

## OPTICS (D, eps, MinNeighbors, OrderedList)

**for each** object O in dataset D

O.reachability-distance  $\leftarrow$  undefined

**for each** unvisited object O in dataset D

N = getNeighbors (O, eps) // set of eps neighbors

mark O as visited

output O to OrderedList

Seeds  $\leftarrow$  empty priority queue

**if** core-distance(O, eps, MinNeighbors)  $\neq$  undefined **then**

OrderSeedsUpdate(N, O, Seeds, eps, MinNeighbors)

**for each** next O' in Seeds

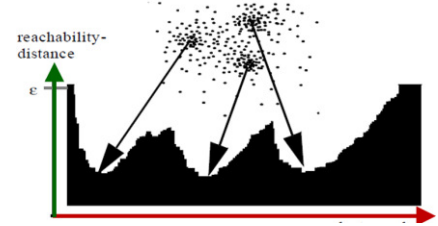
N'  $\leftarrow$  getNeighbors (O', eps)

mark O' as visited

output O' to OrderedList

**if** core-distance(O', eps, MinNeighbors)  $\neq$  undefined **then**

OrderSeedsUpdate (N', O', Seeds, eps, MinNeighbors)



Ermittlung der *core-distance* = Kerndistanz = Distanz zum *MinNeighbors*-Nachbarn oder *undefined* (s. Folie 34).

In *OrderSeedsUpdate* wird die Vorrangliste mit den neuen  $\epsilon$ -Nachbarn des Kernobjekts O aktualisiert.

# OPTICS (6): der Algorithmus von *OrderSeedsUpdate*

OrderSeedsUpdate(N, O, Seeds, eps, MinNeighbors)

core-dist  $\leftarrow$  core-distance(O, eps, MinNeighbors)

**for each** O' in N

**if** O' is not visited

new-reach-dist  $\leftarrow$  max(core-dist, dist(O, O'))

**if** O'.reachability-distance = undefined **then** // O' not in Seeds

O'.reachability-distance  $\leftarrow$  new-reach-dist

Seeds.insert (O', new-reach-dist )

**else** // O' in Seeds, check for improvement

**if** new-reach-dist < O'.reachability-distance

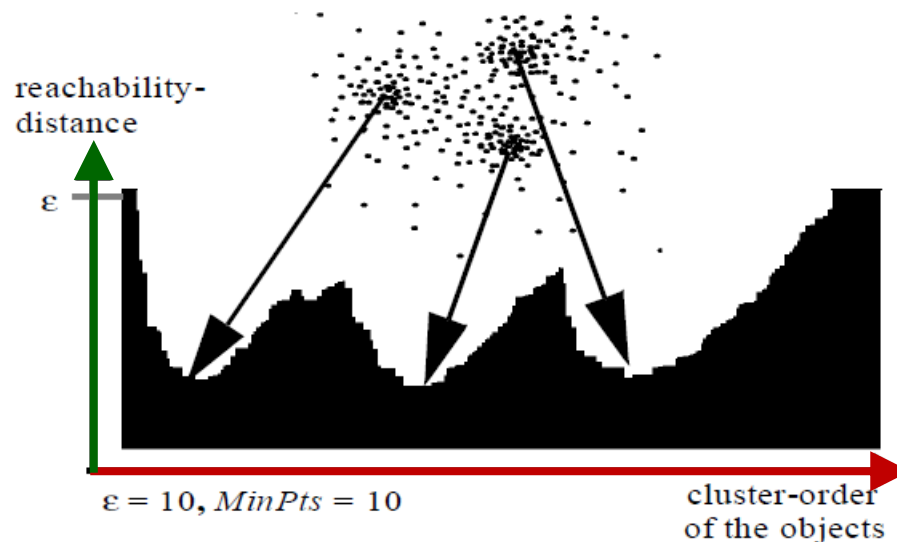
O'.reachability-distance  $\leftarrow$  new-reach-dist

Seeds.move-up (O', new-reach-dist )

○

# OPTICS (7)

- Ergebnis von OPTICS ist die Liste *OrderedList* von  $n$  Objekten  $o_i$ , die nach ihrer Verarbeitungsordnung geordnet sind.
- Diese sind als sog. *Erreichbarkeitsdiagramms* darstellbar. Die Abszisse reiht die Punkte gemäß *OrderedList*. Die Ordinatenwerte geben deren Erreichbarkeitsdistanzen  $r(o_i) \geq 0$  wieder. Täler in diesem Diagramm entsprechen Clustern im Datensatz, die Tiefe des Tales zeigt die Dichte des Clusters an:



- Über ein  $\varepsilon' \leq \varepsilon$  sind Cluster über den Scan-Algorithmus *ExtractClustering* aus der Verteilung der Erreichbarkeitsdistanzen  $r(o_i) \geq 0$  ableitbar.



## OPTICS (8): Algorithmus *ExtractClustering*

ExtractClustering(OrderedList,  $\epsilon$ 's, MinNeighbors)

// precondition: clustering distance  $\epsilon$ 's  $\leq$  generating  $\epsilon$ s

**for each** O in OrderedList

**if** O.reachability-distance  $>$   $\epsilon$ 's **then**

        // remind that undefined  $>$   $\epsilon$ s

**if** O.reachability-distance  $\leq$   $\epsilon$ s **then**

            ClusterId  $\leftarrow$  nextId(ClusterId)

            O.clusterId  $\leftarrow$  ClusterId

**else** // O.reachability-distance  $>$   $\epsilon$ s

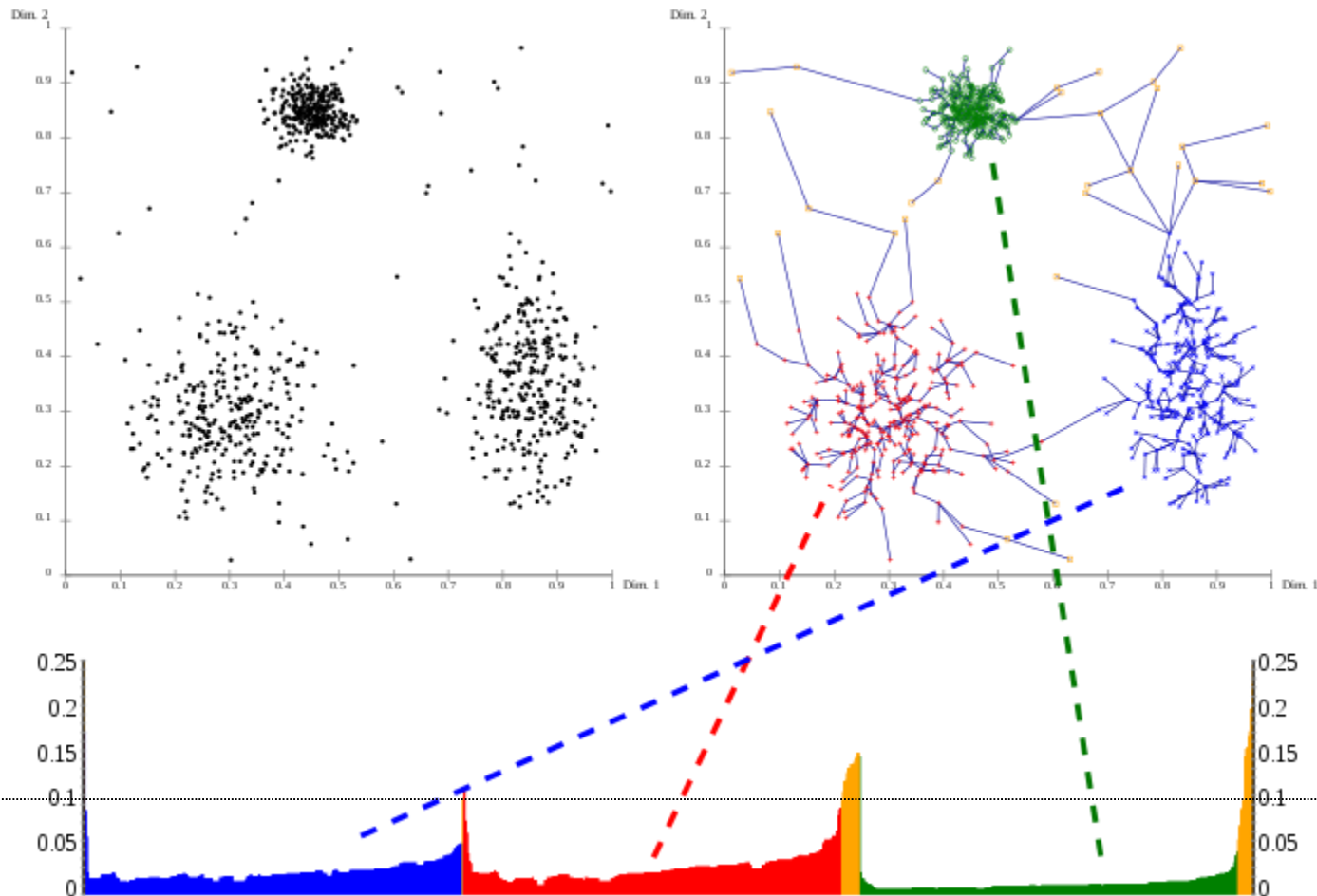
            O.clusterId  $\leftarrow$  Noise

**else** // O.reachability-distance  $\leq$   $\epsilon$ 's

        O.clusterId  $\leftarrow$  ClusterId

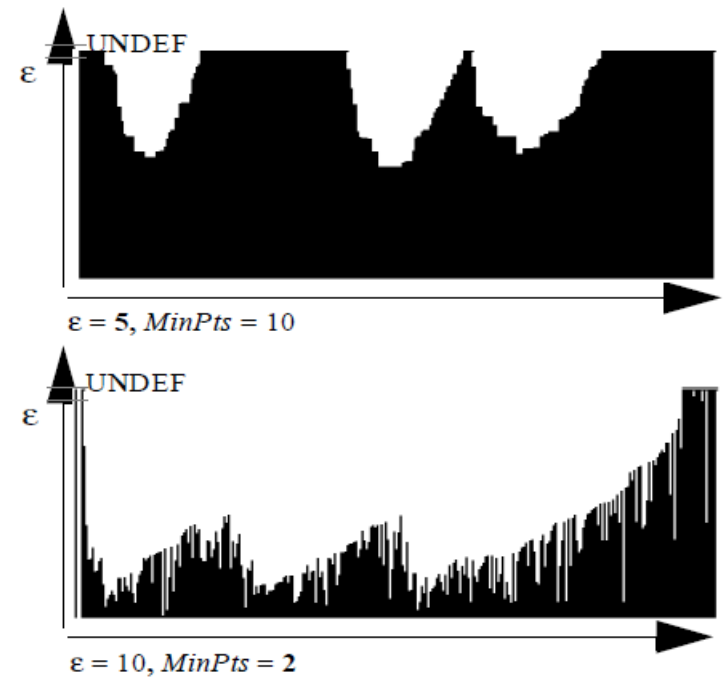
# OPTICS (9): Beispiel

Hier ist die Dichteverbundenheit der Objekte verdeutlicht, indem *jeder Objektpunkt mit seinem Erreichbarkeitsvorgänger verbunden* ist. Hier sind  $\varepsilon \geq 0,5$ , MinNeighbors = 10 und  $\varepsilon' = 0,1$ .



# OPTICS (10): Wahl der Parameter und Komplexität

- Der generierende  $\epsilon$ -Wert sollte der kleinste Distanzwert sein, der alle Objekte der Datenmenge umfasst. Dieser kann als halber Wert der Distanz (etwa Radius einer d-dimensionalen Hypersphäre) zwischen den unähnlichsten Objekten der Datenmenge aufgefasst werden.
- Verschiedene Werte von *MinNeighbors* zeigen im Wesentlichen ähnliche Verläufe der Distanzverteilungen. Größere Werte führen zu einer „Glättung“ der Verteilungen und verhindern Verkettungseffekte aufgrund singulärer Verbindungen.
- Quadratische Zeitkomplexität im Worst Case wie DBSCAN



# Zusammenfassung

---

- Aufgabe des unüberwachten Lernen ist die Erkennung von mehreren Kategorien in einer Sammlung von Datensätzen, für die aber keine Kategoriebeschriftungen vorliegen.
- Das unüberwachte Lernen stellt damit die schwierigste Form des Lernens dar.
- Unüberwachtes Lernen von Kategorien kann durch Clusteranalyse umgesetzt werden. Durch Gruppenzuordnung (engl. *Clustering*) werden die Datensätze derart aufgeteilt, dass Gruppen (Anhäufungen, engl. Cluster) von „ähnlichen“ Datensätzen entstehen.
- Es gibt verschiedene Ansätze für die Clusteranalyse. Für die Auswahl müssen die den Clusteralgorithmen zugrunde liegenden Annahmen mit den möglichen Eigenschaften der Datenverteilungen verglichen werden: haben alle Cluster ähnliche Dichte?, zeigen alle Cluster eine (ähnliche) Normalverteilung?, kann die Zahl der Cluster a priori festgelegt werden?, ....

# Quellen

---

- Stuart Russel, Peter Norvig: *Artificial Intelligence – A Modern Approach* (2<sup>nd</sup> Ed.) Prentice Hall, 2003.
- Martin Ester, Hans-Peter Kriegel, Jörg Sander, Xiaowei Xu: *"A density-based algorithm for discovering clusters in large spatial databases with noise"*. In Evangelos Simoudis, Jiawei Han, Usama M. Fayyad. Proc. 2<sup>nd</sup> Intern. Conf. on Knowledge Discovery and Data Mining (KDD-96). AAAI Press. pp. 226–231, 1996.
- Mihael Ankerst, Markus M. Breunig, Hans-Peter Kriegel, Jörg Sander: *OPTICS: Ordering Points To Identify the Clustering Structure*. Proc. ACM SIGMOD Intern. Conf. on Management of Data. ACM Press, 1999, pp. 49–60, 1999.
- Für diverse Abbildungen und Ergänzungen die Seiten Cluster\_analysis, K-means, DBSCAN und OPTICS in <http://en.wikipedia.org/wiki/> (alle 28.06.2017).